

Д. И. БИЛЕНКО, В. А. ЛОДГАУЗ, И. И. ЛЯСКОВСКИЙ  
(Саратов)

### ЧАСТОТНО-КОНТРАСТНАЯ ХАРАКТЕРИСТИКА УСТРОЙСТВА ТИПА PROM

Среди различных реверсивных сред, используемых для создания пространственно-временных модуляторов света, внимание привлекают материалы, сочетающие фото проводимость с линейным электрооптическим эффектом [1—4]. Устройства на их основе, получившие название PROM, обладают сравнительно низкими пороговыми мощностями, высокой разрешающей способностью, большой контрастностью, реверсивной памятью.

Отличительной особенностью этого устройства на основе фотоэлектрооптического материала и двух слоев диэлектрика является симметричное расположение зарядов на границах фотоэлектрооптического материала — диэлектрик, связанное с разделением в электрическом поле фотовозбужденных носителей заряда и захватом их на ловушки. Этим определяется высокая разрешающая способность PROM по сравнению, например, с двухслойным фотоэлектрооптическим преобразователем, в котором одна из границ электрооптического слоя эквипотенциальная.

Принято считать [1, 2], что разрешающая способность PROM определяется величиной, обратной толщине диэлектрического слоя. При этом не учитывается влияние толщины фотоэлектрооптического слоя и диэлектрических проницаемостей обоих слоев, кроме того, понятие разрешающей способности не имеет смысла без указания контрастности.

Наилучшим образом разрешающую способность устройства характеризует его частотно-контрастная характеристика (ЧКХ), которая позволяет определить контрастность при заданной пространственной частоте и заданных параметрах устройства.

Рассчитывалась ЧКХ набега фаз Г — параметра, линейно-связанного с зарядовым рельефом.

Для этого вначале находилось распределение потенциала в структуре в принятом режиме [3] хранения и считывания информации, т. е. при закороченных электродах. При этом предполагалось, что интенсивность записывающего излучения в направлении оси  $y$  менялась по косинусоидальному закону с пространственной частотой  $u$  и неравномерные носители заряда, осевшие на ловушках, создали зарядовый рельеф с поверхностной плотностью

$$\sigma = (\sigma_0/2)(1 + \cos 2\pi uv).$$

Для нахождения распределения потенциала использовалось решение уравнения Лапласа для трехслойной структуры [5] с новыми граничными условиями; наружные поверхности диэлектриков находятся под одним потенциалом; потенциалы на границах диэлектрик — фотоэлектрооптический слой непрерывны; потенциал на одной из этих границ равен потенциальну на другой границе с обратным знаком, а изменения нормальной составляющей вектора электростатической индукции на этих границах равны соответствующим плотностям поверхностного заряда  $(\sigma_0/2)(1 + \cos 2\pi uv)$  и  $-(\sigma_0/2)(1 + \cos 2\pi uv)$ .

Выражения для потенциала в слоях диэлектрика —  $(m+l) \leq z \leq -m$  и  $m \leq z \leq m+l$  соответственно имеют вид

$$V_a = A + A_0 z + (A_1 e^{pz} + A_2 e^{-pz}) \cos py;$$

$$V_c = C + C_0 z + (C_1 e^{pz} + C_2 e^{-pz}) \cos py,$$

где  $p = 2\pi u$ .

Решение систем уравнений, составленных на основании граничных условий, показало, что  $A = A_0(m+l)$ ;  $C = -C_0(m+l)$ ;  $A_1 e^{-p(m+l)} = -A_2 e^{p(m+l)}$ ;  $C_1 e^{p(m+l)} = -C_2 e^{-p(m+l)}$ . Это означает равенство нулю потенциалов на наружных поверхностях диэлектриков, что находится в согласии с независимостью потенциала от координаты  $y$  на электродах.

Выражение для потенциала в фотоэлектрооптическом слое  $(-m < z < m)$  имеет следующий вид:

$$V_b = B_0 z (1 + 2B_1 \sinh pz \cos py / (B_0 z)), \quad (1)$$

где

$$B_0 = -(\sigma_0/2) [e_b (1 + am/l)]^{-1};$$

$$B_1 = -(\sigma_0/4pe_b) [\cosh pm + a \coth pl \sinh pm]^{-1};$$

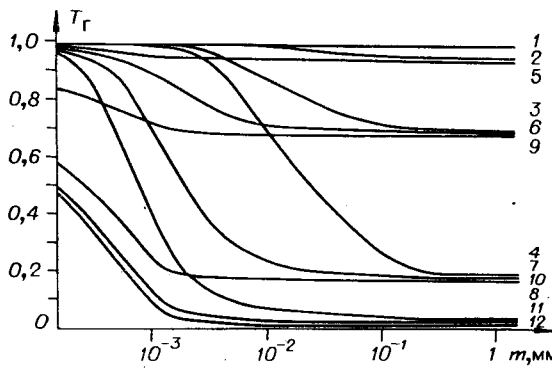


Рис. 1. Зависимость ЧКХ набега фаз от параметров устройства ( $\epsilon_b = 56$ ,  $\epsilon_d = 3,1$ ).  
Кривые 1—4 соответствуют  $v=20$ ; 5—8 —  $v=200$ ; 9—12 —  $v=2000$  лин/мм;  
для кривых 4, 8, 12 значение  $l=2$ ;  
3, 7, 11 —  $l=0,2$ ; 2, 6, 10 —  $l=0,02$ ;  
1, 5, 9 —  $l=0,002$  мкм.

$a$  — отношение диэлектрических проницаемостей диэлектрика  $\epsilon_d$  и фотоэлектрооптического материала  $\epsilon_b$ ;  
 $m$  и  $l$  — полутолщина фотоэлектрооптического и толщина диэлектрического слоя;  
 $z$  — координата в направлении распространения света.

Распределение потенциала позволило получить выражение для нормальной составляющей поля (вдоль оси  $z$ ) в фотоэлектрооптическом материале  $E_z(y, z)$ , а затем интегрирование величины  $d\Gamma \sim E_z(y, z)dz$  найти выражение для  $\Gamma$ . Так как задача линейная, индуцированный набег фаз так же, как и зарядовый рельеф, оказался косинусоидально зависящим от координаты  $y$  с той же пространственной частотой  $v$ .

Из выражения для  $\Gamma$  была найдена ЧКХ набега фаз

$$T_g = \frac{1 + a \frac{m}{l}}{\operatorname{cth} pm + a \operatorname{cth} pl pm}. \quad (2)$$

Величина  $T_g$  меняется от 1 до 0 с ростом пространственной частоты от 0 до  $\infty$  и показывает, какую часть от глубины пространственной модуляции зарядового рельефа составляет глубина пространственной модуляции индуцированного набега фаз. С контрастностью ЧКХ связана следующим образом:

$$k_g = (1 + T_g) / (1 - T_g). \quad (3)$$

Был проведен расчет  $T_g$  для ряда толщин диэлектрического и фотоэлектрооптического слоев и набора пространственных частот при фиксированном значении  $a$  (для пары  $\text{Bi}_{12}\text{SiO}_{20}$  — паралин). На рис. 1 приведены соответствующие зависимости. Как видно из рисунка, зависимость  $T_g$  от толщины фотоэлектрического слоя вначале сильная, но, начиная с некоторого  $m$ , зависящего от  $l$  и  $v$ ,  $T_g$  от  $m$  практически не зависит и для одинаковых  $v/l$  значения  $T_g$  совпадают.

Следует заметить, что для больших  $m$  и малых  $l$  (удовлетворяющих соотношениям  $m \gg l/a$ ;  $\operatorname{cth} pm \approx 1$ ;  $\operatorname{cth} pl \approx 1/pl$ ) из выражения (2) можно получить следующую приближенную формулу для определения разрешающей способности устройства:

$$v = a / [\pi l (k_g - 1)]. \quad (4)$$

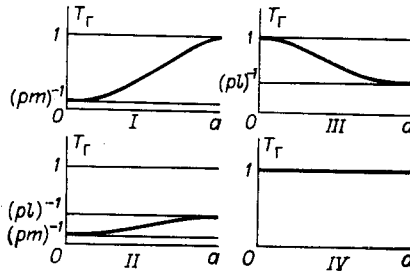
В соответствии с этой формулой приближенная оценка разрешающей способности [1, 2], о которой сообщалось выше, приобретает более четкий смысл. Разрешающая способность действительно при определенных условиях определяется величиной  $l$ , но при этом также зависит от соотношения диэлектрических проницаемостей слоев и от заданной контрастности в набеге фаз.

На рис. 2 представлены качественные зависимости ЧКХ от соотношения диэлектрических проницаемостей слоев в разных интервалах изменения их толщин. Количество они могут быть выражены следующим образом для случаев I—IV соответственно:

$$T_g = \begin{cases} \frac{l + am}{m(a + pl)}; \\ \frac{l + am}{pm(l + a)}; \\ \frac{l + am}{l(1 + aptm)}; \\ 1. \end{cases} \quad (5)$$

Таким образом, при больших  $pm$  (аргумент считаем большим или малым в зависимости от того, равен гиперболический тангенс от него единице или аргументу)

Рис. 2. Зависимость ЧКХ набега фаз от соотношения диэлектрических проницаемостей диэлектрического и фотоэлектрооптического слоев: I — для больших  $r_{pt}$  и малых  $r_{pl}$ ; II — для больших  $r_{pt}$  и больших  $r_{pl}$ ; III — для малых  $r_{pt}$  и больших  $r_{pl}$ ; IV — для малых  $r_{pt}$  и малых  $r_{pl}$ .



контрастность тем выше, чем больше  $\epsilon$  диэлектрика и меньше  $\epsilon$  фотоэлектрооптического материала. При малых  $r_{pt}$  наблюдается обратная зависимость. Если  $r_{pt}$  и  $r_{pl}$  малы, ЧКХ близка к единице и от практическим не зависит.

Найденное выражение для ЧКХ набега фаз является предельным, так как в расчете предполагалось, что контраст в зарядовом рельефе равен контрасту во входном изображении. Это справедливо в том случае, если входное излучение равномерно поглощается по глубине, а концентрация ловушек и их сечение захвата достаточно велики, чтобы носители заряда были захвачены прежде, чем они растекутся вследствие диффузии и под действием поперечной составляющей  $E_y(y, z)$ . Это поле имеет синусоидальную зависимость от  $y$  (рис. 3) и направлено от областей с максимальной плотностью поверхностного заряда к областям с минимальной плотностью. Истинное значение ЧКХ набега фаз должно определяться произведением найденной ЧКХ на ЧКХ растекания неравновесных носителей заряда с учетом поверхностных состояний и поперечного поля.

Рассмотрим, как контрастность выходного сигнала связана с ЧКХ набега фаз и, следовательно, с толщинами и диэлектрическими проницаемостями слоев.

На нелинейных участках квадратичной синусоиды  $\sin^2(\Gamma/2)$  понятие частотно-контрастной характеристики выходного сигнала не имеет смысла. Однако контрастность выходного сигнала может быть определена через контрастность в набеге фаз. Так, например, на начальном участке квадратичной синусоиды, где функция равна квадрату аргумента, контрастность выходного сигнала

$$k_I = k_{\Gamma}^2 = \left( \frac{1 + T_{\Gamma}}{1 - T_{\Gamma}} \right)^2. \quad (6)$$

Это справедливо для малых абсолютных значений набега фаз и любых его контрастностей.

Как видно из (6), на этом участке контрастность выходного сигнала резко возрастает по сравнению с контрастностью  $\Gamma$ , но КПД по свету, как известно, здесь никак (не более 15–20% без учета всех потерь на отражение, поглощение, рассеяние).

На другом участке нелинейности (вблизи  $\Gamma = \pi$ ) контрастность выходного сигнала ниже контрастности набега фаз, а КПД по свету близок 100%.

На линейном участке зависимости выходного сигнала от  $\Gamma$  может быть найдена ЧКХ выходного сигнала. Линейный участок на квадратичной синусоиде определяется касательной к ней в точке  $\Gamma = \pi/2$ . Наклон касательной к оси  $\Gamma$  составляет 0,5, а отрезок, отсекаемый на ординате, равен  $0,5(1 - \pi/2)$ . Из этих параметров следует, что амплитуда изменения  $\Gamma$  не выходит за пределы области линейности выходного сигнала при  $T_{\Gamma} < 2/\pi$ . Задавшись уравнением прямой с названными параметрами, можно осуществить линейное преобразование косинусоидально меняющегося набега фаз  $\Gamma = \Gamma_0(1 + T_{\Gamma} \cos 2\pi y)$  в косинусоидально меняющийся выходной сигнал и на этой основе найти связь между ЧКХ выходного сигнала и ЧКХ индуцированного набега фаз:

$$T_I = \pi T_{\Gamma}/2.$$

Если амплитуда изменений  $\Gamma$  превышает область линейности выходного сигнала, то как и в первых двух случаях, можно определить контрастность выходного сигнала через  $T_{\Gamma}$ .

## ЛИТЕРАТУРА

- Хоменко А. В., Ковалев Н. Н., Петров М. П. Оптическая запись информации в PROM-структуре на основе  $\text{Bi}_{12}\text{SiO}_{20}$ . — «Письма в ЖТФ», 1976, т. 2, вып. 23, с. 1095—1098.
- Feinleib J., Oliver D. S. Reusable optical image storage and processing device. — “Appl. Opt.”, 1972, vol. 11, N 12, p. 2752—2759.
- Hou S. L., Oliver D. S. Pockels readout optical memory using  $\text{Bi}_{12}\text{SiO}_{20}$ . — “Appl. Phys. Lett.”, 1971, vol. 18, N 8, p. 325—328.
- Клипко А. Т., Котляр П. Е., Нежевенко Е. С., Фельдбуш В. И., Шибанов В. С. Пространственно-временные модуляторы света на монокристаллах  $\text{Bi}_{12}\text{GeO}_{20}$ ,  $\text{Bi}_{12}\text{SiO}_{20}$ . — «Автометрия», 1976, № 4, с. 34—43.
- Шафферт Р. Электрофотография. М., «Мир», 1968.

Поступило в редакцию 4 июля 1977 г.;  
окончательный вариант — 6 марта 1978 г.

УДК 531.383 : 621.378.325.2

В. В. КАРНАКОВ, Д. К. МЫНБАЕВ

(Ленинград)

## АВТОМАТИЧЕСКАЯ КОРРЕКЦИЯ ВЫХОДНОГО СИГНАЛА КАК МЕТОД ПОВЫШЕНИЯ ТОЧНОСТИ ЛАЗЕРНОГО ГИРОМЕТРА

Применение лазерного гиromетра (ЛГ) в навигационных системах — один из путей повышения точности этих систем (естественно, при условии высокоточной работы самого ЛГ). Основной источник ошибок ЛГ — зависимость его оператора преобразования от вектора параметров, который меняется под действием влияющих факторов в реальных условиях эксплуатации. Уменьшение этих ошибок ЛГ возможно путем автоматической стабилизации параметров прибора около их名义ального (оптимального) значения. Этот путь хорошо изучен (см., например, [1, 2]), предложено и реализовано множество типов систем автоматической стабилизации расстройки (периметра) и мощности (накачки) излучения. Принципиальными недостатками этого пути являются, во-первых, ограниченные возможности применения (например, в существенно нестационарных условиях эксплуатации препятствием является ограниченность хода исполнительного элемента системы стабилизации расстройки, кроме того, перемещение этого элемента — само источник ошибок), во-вторых, возможность построения таких систем не для всех параметров ЛГ (практически реализованы только системы стабилизации расстройки и мощности излучения). Поэтому автоматическая стабилизация параметров ЛГ не является универсальным и исчерпывающим методом повышения точности ЛГ.

Другим методом повышения точности ЛГ может служить автоматическая коррекция его показаний. Этот метод, поскольку нам известно, практически не исследовался, в то время как он универсален, применим в любых условиях эксплуатации, достаточно прост в технической реализации. В настоящей работе рассматривается сущность метода коррекции показаний и возможность его применения для уменьшения ошибок ЛГ из-за нестабильности разности потерь встречных волн.

В общем случае уравнение измерительного преобразования, полученное в результате решения уравнений движения измерительного преобразователя (ИП), имеет вид

$$y = H(\mathbf{P}, x) x, \quad (1)$$

где  $y$  и  $x$  — выходной и входной сигналы соответственно,  $H$  — оператор преобразования,  $\mathbf{P}$  — вектор параметров ИП. Уравнение оптимального преобразования имеет вид

$$y_0 = H_0(\mathbf{P}_0, x_0) x_0, \quad (2)$$

где индекс 0 означает, что берется оптимальное значение объекта исследования.

Погрешность измерения  $\Delta y$  представляет собой функционал «расстояния» между сигналами  $y$  и  $y_0$ :

$$\Delta y = F(y, y_0). \quad (3)$$